

重力波の発生及び その検出に向けて

千葉大学 宇宙物理学研究室4年

栗山 智宏

指導教員：花輪 知幸 教授

本日の流れ

1. 研究目的 (大学院での研究)
2. 重力波の理論 (電磁気学との対比)
 - ①重力波の伝播
 - ②重力波の生成
 - ③重力波の運ぶエネルギー
(公転周期減少, KAGRAの歪み)
3. 重力波観測
4. 今後の課題

研究目的

来年度からのKAGRAでの研究に向けて

- 重力波の発生機構の理解
- 連星系の重力波放出に伴う観測結果の理論的な理解
- 重力波によるKAGRAの歪み

重力波とは

- 光速で伝わる時空の歪み

アインシュタイン方程式

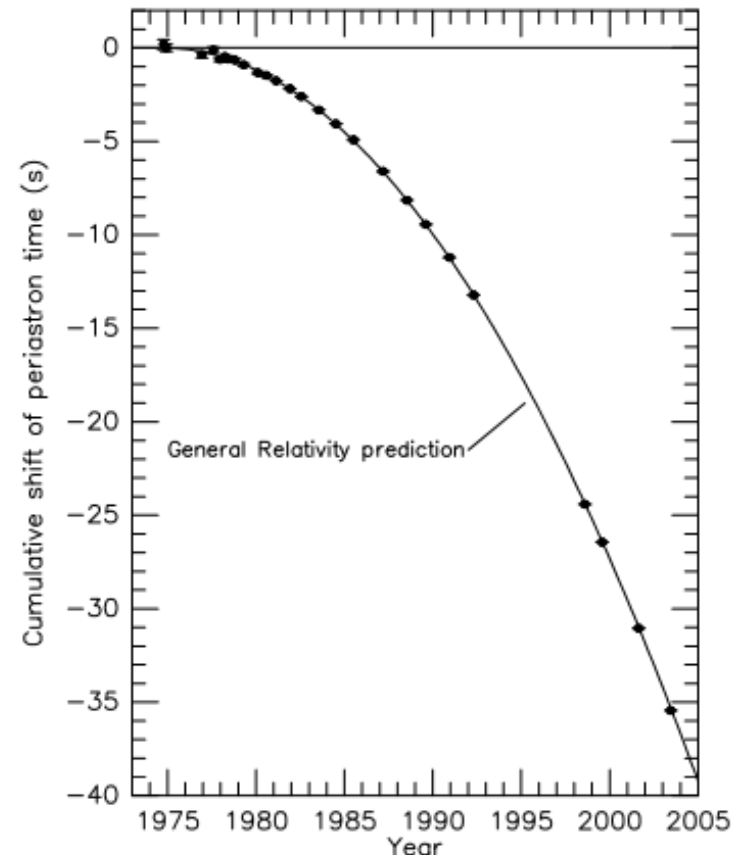
$$G^{\mu\nu} = 8\pi T^{\mu\nu}$$

- 重力波の存在の間接的証明

PSR B1913+16 の公転周期の減少が相対論による予測と一致!
(1993年ノーベル物理学賞)

- 重力波の直接検出

$36M_{\odot}$ と $29M_{\odot}$ の連星BHの合体による重力波を検出
(Advanced LIGO)



Weisberg et al., ASP.328(2005)

弱い重力場のアインシュタイン方程式

〈電磁気学〉

◇方程式

$$\left(-\frac{1}{c^2} \frac{\partial^2}{\partial t^2} + \nabla^2\right) \Phi = -\frac{\rho_e(t)}{\epsilon_0}$$



時間変化する $\rho_e(t)$ によって電磁波が放射される。

◇ローレンツゲージ条件

$$\nabla \cdot A + \frac{1}{c^2} \frac{\partial^2 \Phi}{\partial t^2} = 0$$

$P^0 = -\Phi, P^i = A^i$ とすると

$$\underline{P^\nu{}_{,\nu} = 0} \text{ となる}$$

〈一般相対論〉

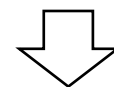
◇方程式

$$\left(-\frac{\partial^2}{\partial t^2} + \nabla^2\right) \bar{h}^{\mu\nu} = -16\pi T^{\mu\nu}$$

$T^{\mu\nu}$: エネルギー-運動量テンソル

$$g_{\alpha\beta} = \eta_{\alpha\beta} + h_{\alpha\beta}, \quad \bar{h}^{\alpha\beta} = h^{\alpha\beta} - \frac{1}{2} \eta^{\alpha\beta} h$$

$G^{\mu\nu}$ は計量の摂動 $\bar{h}^{\mu\nu}$ で表せる



時間変化する $T^{\mu\nu}$ によって重力波が放射される。

◇ゲージ条件

$$\underline{\bar{h}^{\mu\nu}{}_{,\nu} = 0}$$

真空中の重力波の伝播

- 弱い場のアインシュタイン方程式の解

真空中を伝播 $T^{\mu\nu} = 0$

$$\left(-\frac{\partial^2}{\partial t^2} + \nabla^2\right)\bar{h}^{\mu\nu} = 0 \quad \Leftrightarrow \quad \bar{h}^{\mu\nu} = A^{\mu\nu}\exp(ik_\mu x^\mu)$$

- トランスバース・トレースレス・ゲージ条件

z方向への平面波の進行を考える。 (TTゲージ)

$$\begin{cases} A^{\mu\nu}k_\nu = 0 \\ A^\mu{}_\mu = 0 \\ A_{\mu\nu}U^\nu = 0 \end{cases} \quad \Leftrightarrow \quad (A_{\alpha\beta}^{\text{TT}}) = \begin{pmatrix} 0 & 0 & 0 & 0 \\ 0 & A_{xx} & A_{xy} & 0 \\ 0 & A_{xy} & -A_{xx} & 0 \\ 0 & 0 & 0 & 0 \end{pmatrix}$$

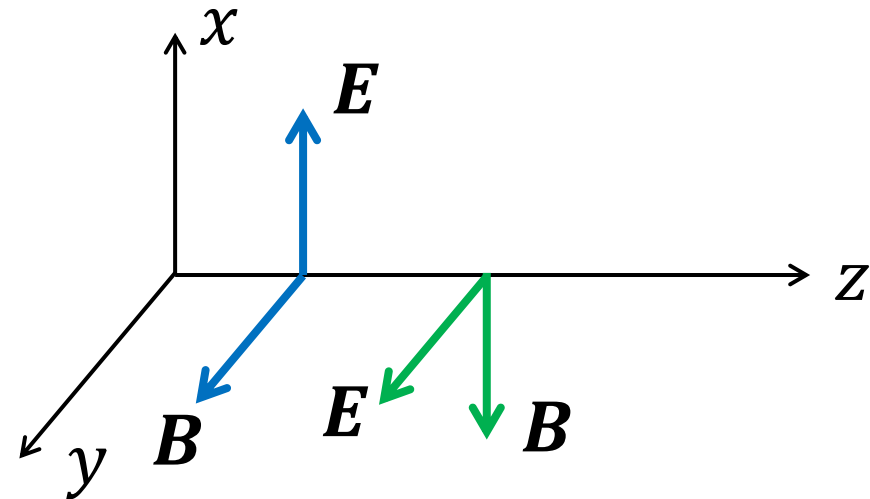
重力波の偏極

〈電磁波〉

$$\left(-\frac{1}{c^2} \frac{\partial^2}{\partial t^2} + \nabla^2\right) \mathbf{E}(\mathbf{x}, t) = 0$$

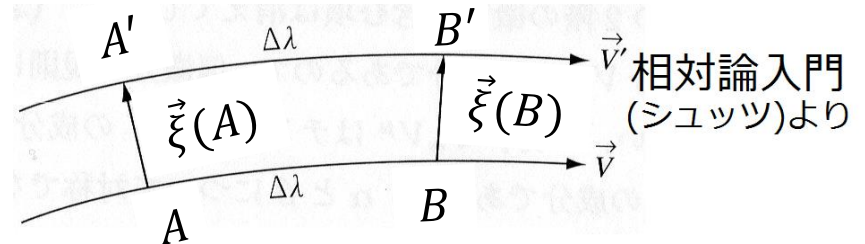
$$\left(-\frac{1}{c^2} \frac{\partial^2}{\partial t^2} + \nabla^2\right) \mathbf{B}(\mathbf{x}, t) = 0$$

- 電磁波の偏光



(90度回転)

〈重力波〉



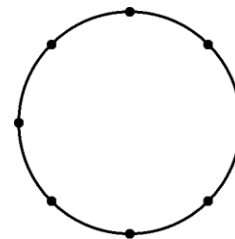
- 測地線偏差の方程式

$$\nabla_V \nabla_V \xi^\alpha = R^\alpha{}_{\mu\nu\beta} V^\mu V^\nu \xi^\beta$$

$R^\alpha{}_{\mu\nu\beta}$ で重力場の潮汐力を表現可能

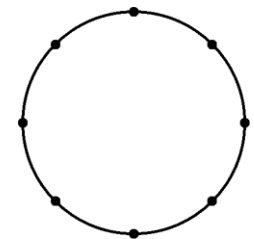
- 重力波の偏極

+モード



(45度回転)

xモード



重力波の自由粒子への影響

- **座標の変化** (A(0,0,0) B(ε ,0,0))

(粒子が初め静止しているローレンツ系にTTゲージをとる)

$$\frac{d}{d\tau} U^\alpha + \Gamma^\alpha_{\mu\nu} U^\mu U^\nu = 0 \quad (\text{測地線方程式})$$

$$\left(\frac{dU^\alpha}{d\tau}\right)_0 = -\Gamma^\alpha_{00} = -\frac{1}{2}\eta^{\alpha\beta}(h_{\beta,00} + h_{0\beta,0} - h_{00,\beta}) = 0$$

\Rightarrow 粒子は波がぶつかっても座標を変えない! ($\because h_{\beta 0}^{\text{TT}} = 0$)

- **固有距離の変化**

$$\Delta l = \int |ds^2|^{1/2} = \int |g_{\alpha\beta} dx^\alpha dx^\beta|^{1/2} = \int_0^\varepsilon |g_{xx}|^{1/2} dx$$
$$\approx \left[1 + \frac{1}{2} h_{xx}^{\text{TT}}(x=0) \right] \varepsilon$$

\Rightarrow $h_{xx}^{\text{TT}} \neq 0$ より、固有距離は時間変化する!

重力波の生成

〈電気双極子放射〉

$$\frac{1}{c^2} \frac{\partial^2 \Phi}{\partial t^2} - \nabla^2 \Phi = \frac{\rho_e(t)}{\epsilon_0}$$


$$\Phi(\mathbf{x}, t) = \frac{1}{4\pi\epsilon_0} \int_V \frac{\rho_e(t - |\mathbf{x} - \mathbf{x}'|/c, \mathbf{x}')}{|\mathbf{x} - \mathbf{x}'|} d^3x'$$

〈重力波の放射〉

$$\left(-\frac{\partial^2}{\partial t^2} + \nabla^2\right) \bar{h}^{\mu\nu} = -16\pi T^{\mu\nu}$$


$$\bar{h}^{\mu\nu} = 4 \int \frac{\tau^{\mu\nu}(t - |\mathbf{x} - \mathbf{x}'|, \mathbf{x}')}{|\mathbf{x} - \mathbf{x}'|} d^3x'$$

$\tau^{\mu\nu}$: エネルギー-運動量 擬テンソル

四重極放射

- 四重極モーメント $I_{ij} = \int \rho x^i x^j d^3x$
- トレースレス部分 $t_{ij} = \int \rho (x^i x^j - \frac{1}{3} \delta_{ij} r^2) d^3x$
- 重力源から距離 r 離れた場所での振幅は

$$h_{ij}^{\text{TT}} = \frac{2}{r} \frac{\partial^2}{\partial t^2} t_{ij}(t - r)$$

- 四重極波の角度依存性(球座標)

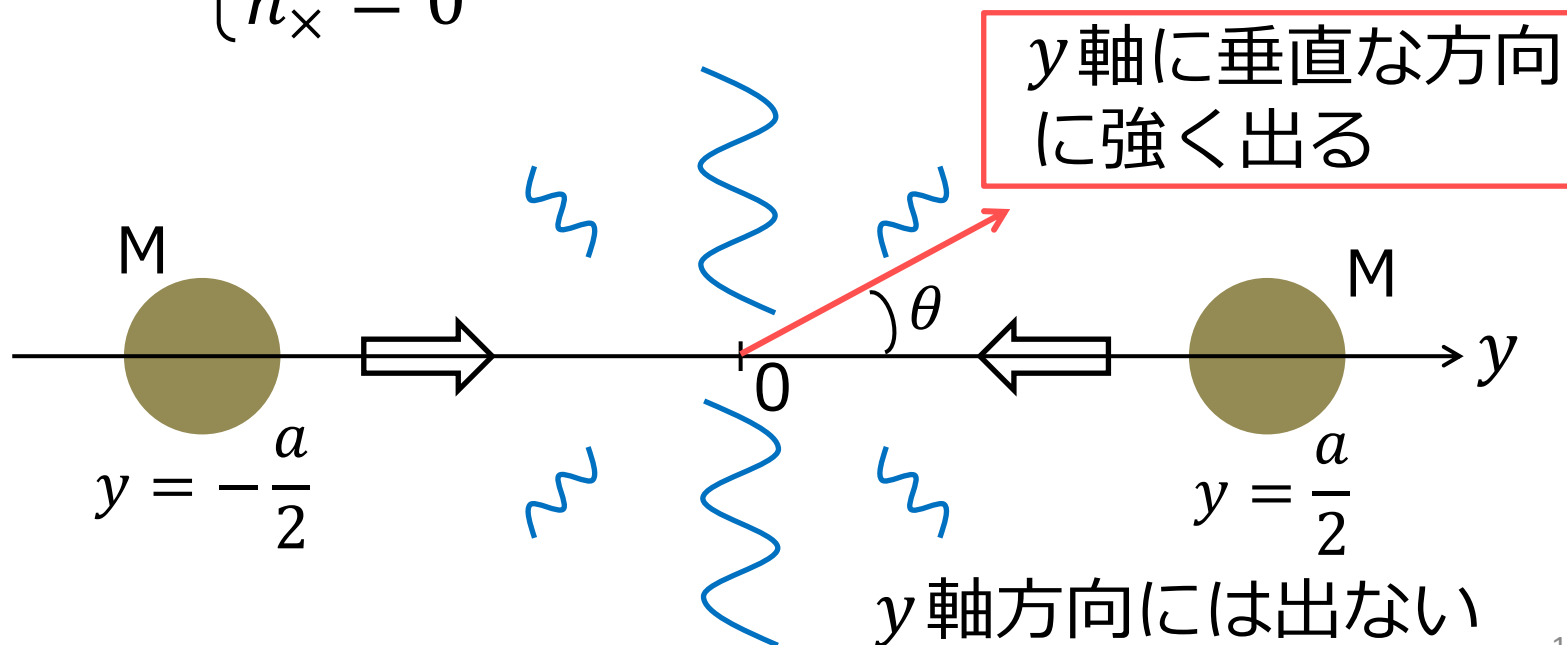
$$h_{\theta\theta} = h_{ij}^{\text{TT}} \frac{\partial x^i}{\partial \theta} \frac{\partial x^j}{\partial \theta}, h_{\varphi\varphi} = h_{ij}^{\text{TT}} \frac{\partial x^i}{\partial \varphi} \frac{\partial x^j}{\partial \varphi}, h_{\theta\varphi} = h_{ij}^{\text{TT}} \frac{\partial x^i}{\partial \theta} \frac{\partial x^j}{\partial \varphi}$$

$$h_+ = \frac{h_{\theta\theta}}{r^2} = -\frac{h_{\varphi\varphi}}{r^2 \sin^2 \theta}, h_\times = \frac{h_{\theta\varphi}}{r^2 \sin^2 \theta}$$

重力波放射の例

- 2つの質量Mの星が互いの重力で引き合うとき
(角運動量ゼロ, y軸上を運動)

$$\begin{cases} h_+ = \frac{1}{2} \left(\frac{2M}{r} \right) \left(\frac{2M}{a(t-r)} \right) \sin^2 \theta \\ h_{\times} = 0 \end{cases}$$

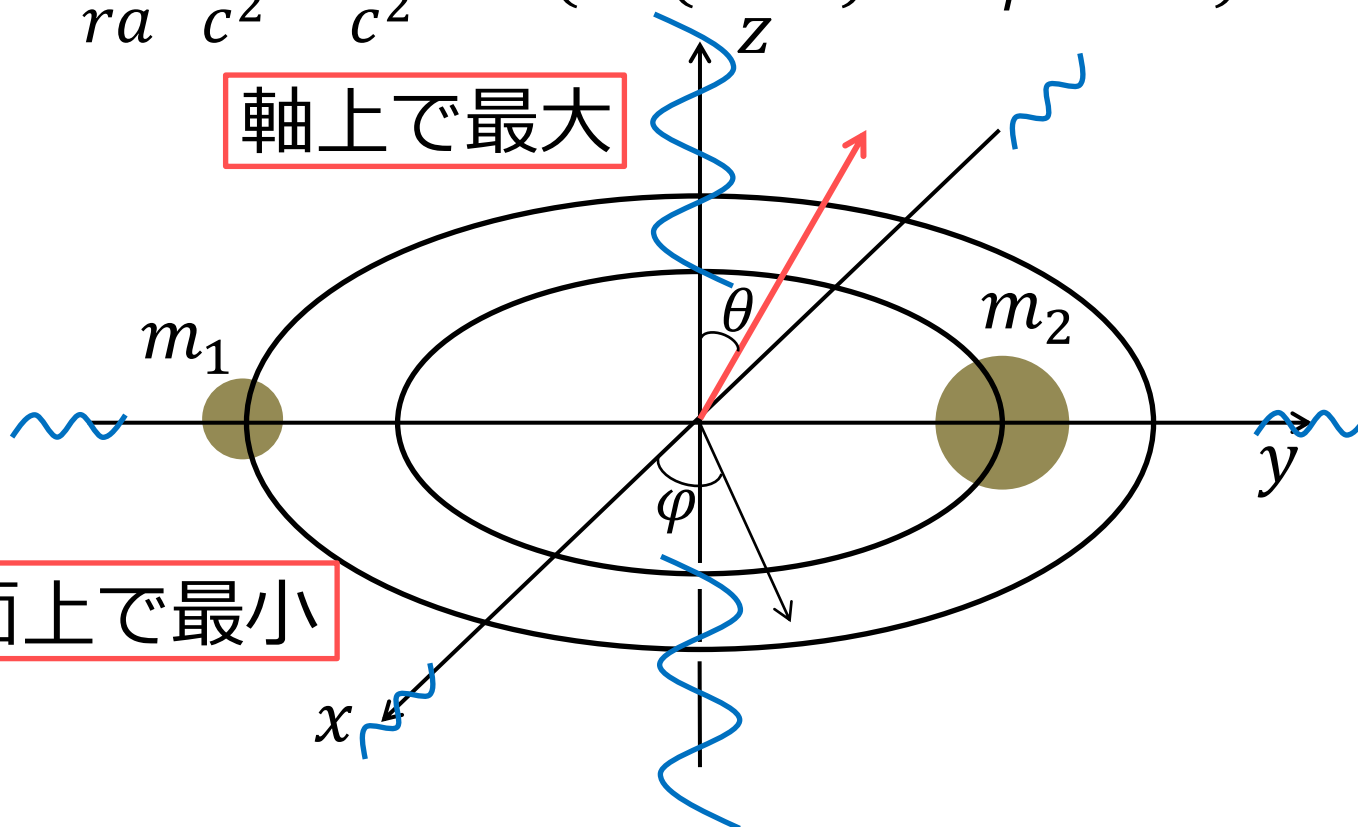


円軌道の連星系からの重力波

- 円軌道をまわる質量 m_1 と m_2 の連星から出る重力波

$$\begin{cases} h_+ = -\frac{2}{ra} \frac{Gm_1}{c^2} \frac{Gm_2}{c^2} \cos(2\Omega(t-r) - 2\varphi + 2\Phi)(\cos^2\theta + 1) \\ h_\times = -\frac{2}{ra} \frac{Gm_1}{c^2} \frac{Gm_2}{c^2} \sin(2\Omega(t-r) - 2\varphi + 2\Phi) 2\cos\theta \end{cases}$$

軸上で最大



軌道面上で最小

エネルギー・角運動量輸送

- 重力波のエネルギー・運動量テンソル(TTゲージ)

$$T_{\mu\nu}^{\text{GW}} = \frac{1}{32\pi} \langle \bar{h}_{jk,\mu}^{\text{TT}} \bar{h}_{jk,\nu}^{\text{TT}} \rangle$$

- $\langle \rangle$: Brill-Hartle平均,
数波長にわたる平均

電磁波のエネルギー密度

$$\langle u \rangle = \frac{1}{2} \epsilon_0 \langle E^2 \rangle$$

- 重力波のエネルギー放出率 L_{GW}

$$L_{\text{GW}} = \frac{1}{5} \langle \ddot{\ddot{t}}_{jk} \ddot{\ddot{t}}_{jk} \rangle \quad (\text{四重極公式})$$

- 角運動量の時間変化

$$\frac{dJ_i^{\text{GW}}}{dt} = \frac{2}{5} \epsilon_{ijk} \langle \ddot{\ddot{t}}_{km} \ddot{\ddot{t}}_{mj} \rangle$$

三階時間微分

||

加速度の時間微分

||

重力波は時間変動の激しい運動で効率よく出る

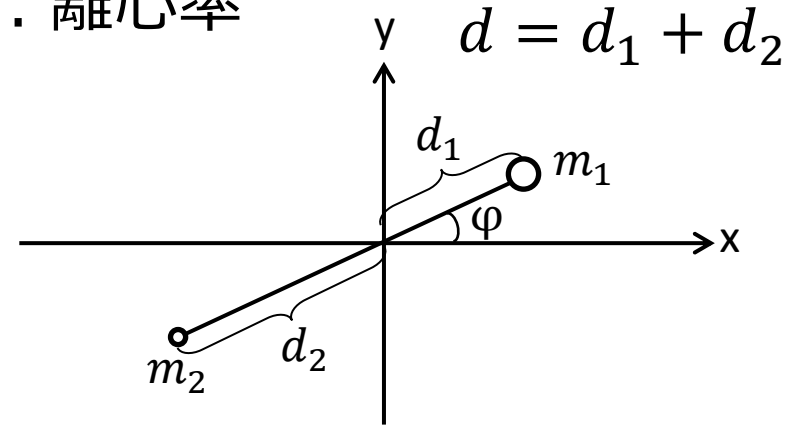
楕円軌道の場合

- 右のような楕円軌道を考える。 a : 軌道長半径

慣性モーメント

e : 離心率

$$\begin{cases} I_{xx} = \frac{m_1 m_2}{m_1 + m_2} d^2 \cos^2 \varphi \\ I_{yy} = \frac{m_1 m_2}{m_1 + m_2} d^2 \sin^2 \varphi \\ I_{xy} = \frac{m_1 m_2}{m_1 + m_2} d^2 \sin \varphi \cos \varphi \end{cases}$$



PETERS & MATHEWS(1963)参考

$$\frac{1}{2} d^2 \dot{\phi} = \frac{\pi a b}{P_b} \quad (\text{面積速度一定})$$

$$a = -\frac{G m_1 m_2}{2E} \quad (\text{全エネルギー } E \text{ と } a \text{ との関係})$$

$$\frac{G(m_1 + m_2)}{a^3} = \left(\frac{2\pi}{P_b}\right)^2 \quad (\text{ケプラーの第三法則})$$

楕円軌道の場合

- 角運動量の時間変化

$$\frac{dJ_i^{\text{GW}}}{dt} = \frac{2}{5} \epsilon_{ijk} \langle \ddot{I}_{km} \ddot{I}_{mj} \rangle \text{ 及び } J_z^2 = G \frac{m_1^2 m_2^2}{m_1 + m_2} a(1 - e^2) \text{ より}$$

$$\frac{dJ_z}{dt} = -\frac{32 G^3 m_1^2 m_2^2 (Gm_t)^{1/2}}{5 c^5 a^{7/2} (1 - e^2)^2} \left(1 + \frac{7}{8} e^2 \right)$$

- エネルギーの時間変化

$$L_{\text{GW}} = \frac{1}{5} \langle \ddot{I}_{jk} \ddot{I}_{jk} \rangle \text{ 及び } a = -\frac{Gm_1 m_2}{2E} \text{ より}$$

$$\frac{dE}{dt} = -L_{\text{GW}} = -\frac{32 G^4 m_1^2 m_2^2 m_t}{5 c^5 a^5 (1 - e^2)^{7/2}} \left(1 + \frac{73}{24} e^2 + \frac{37}{96} e^4 \right)$$

楕円軌道の場合

- 軌道長半径 a の減少

$$\frac{dE}{dt} \text{ 及び } a = -\frac{Gm_1m_2}{2E} \text{ より}$$

$$\frac{da}{dt} = -\frac{64}{5} \frac{G^3 m_1 m_2 m_t}{c^5 a^3 (1-e^2)^{7/2}} \left(1 + \frac{73}{24} e^2 + \frac{37}{96} e^4 \right)$$

- 公転周期 P_b の減少

$$\frac{da}{dt} \text{ 及び } \frac{G(m_1+m_2)}{a^3} = \left(\frac{2\pi}{P_b} \right)^2 \text{ より}$$

$$\frac{dP_b}{dt} = -\frac{192\pi}{5} \left(\frac{P_b}{2\pi} \right)^{-\frac{5}{3}} \frac{1}{(1-e^2)^{7/2}} \left(1 + \frac{73}{24} e^2 + \frac{37}{96} e^4 \right) \frac{G^2 m_1 m_2}{c^5} (Gm_t)^{-1/3}$$

過去30年にわたる観測で確かめられている。

重力波の存在の間接的証明 (Hulse & Taylor)

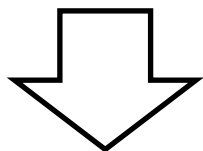
離心率の変化

- 離心率 e の変化

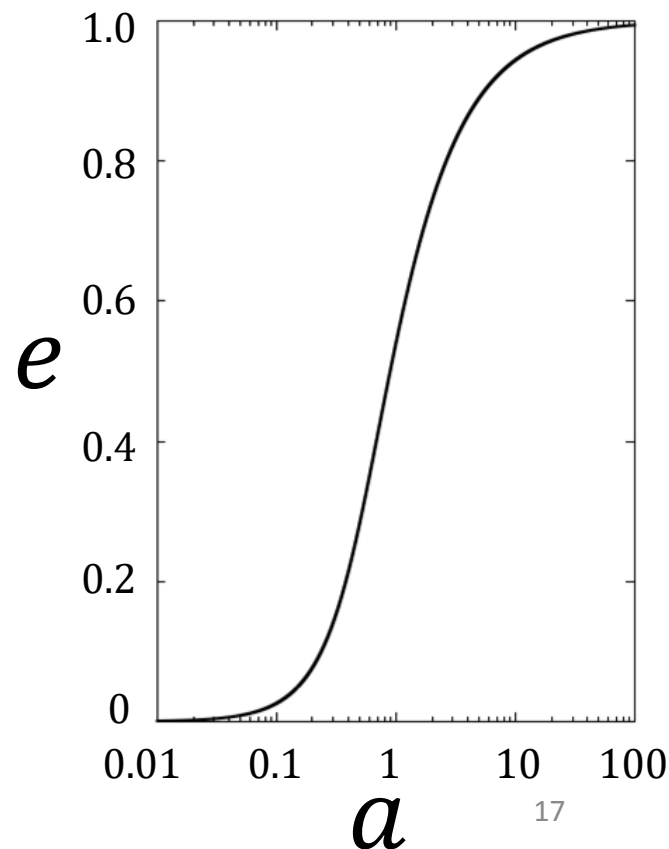
$$\frac{de}{dt} = -\frac{304}{15} \frac{G^3 m_1 m_2 m_t}{c^5 a^4 (1-e^2)^{5/2}} e \left(1 + \frac{121}{304} e^2 \right)$$

$$\frac{a}{a_0} = \frac{1-e_0^2}{1-e^2} \left(\frac{e}{e_0} \right)^{\frac{12}{19}} \left[\frac{1 + \frac{121}{304} e^2}{1 + \frac{121}{304} e_0^2} \right]^{\frac{870}{2299}}$$

重力波放射で軌道長半径 a が減少



離心率 e も減少, 円軌道へ



PSR B1913+16について

- 初めて発見された連星パルサー
- 1974年に発見されてから、一般相対論の検証の対象として積極的に観測が行われてきた。

〈軌道パラメータ,質量,距離〉

e	0.6171334(5)
P_b (d)	0.322997448911(4)
\dot{P}_b (s/s)	-2.423×10^{-12}
m_p	$1.4398(2)M_{\odot}$
m_c	$1.3886(2)M_{\odot}$
d (kpc)	9.9 ± 3.1 kpc

$$\text{寿命} : \frac{P_b}{\dot{P}_b} \approx 3 \text{億年}$$

Weisberg et al.,APJ(2010)より

重力波放出及びそれに伴う変化

Weisberg et al., APJ(2010)の値より算出した

- **エネルギー放射率**

$$\underline{L_{GW} = 7.761 \pm 0.005 \times 10^{24} \text{ J/s}}$$

- **公転周期の減少**

$$\dot{P}_b = -2.4026 \pm 0.0007 \times 10^{-12} \text{ s/s}$$

$$\Rightarrow \underline{\text{観測結果} : \dot{P}_b = -2.423 \times 10^{-12} \text{ s/s}}$$

- **軌道長半径 a の減少**

$$\dot{a} = -1.1187 \pm 0.0003 \times 10^{-7} \text{ m/s}$$

$$\Rightarrow \underline{\text{約} 3.53 \text{ m/年}}$$

重力波によるKAGRAの歪み

- 重力波を放出し円軌道になった場合

$$h_+ = -\frac{2}{ra} \frac{Gm_1}{c^2} \frac{Gm_2}{c^2} \cos(2\Omega(t-r) - 2\varphi + 2\Phi)(\cos^2\theta + 1)$$

$$h_\times = -\frac{2}{ra} \frac{Gm_1}{c^2} \frac{Gm_2}{c^2} \sin(2\Omega(t-r) - 2\varphi + 2\Phi) 2\cos\theta$$

$$\frac{2}{ra} \frac{Gm_1}{c^2} \frac{Gm_2}{c^2} \approx 7.2 \times 10^{-23}$$

[無次元量]

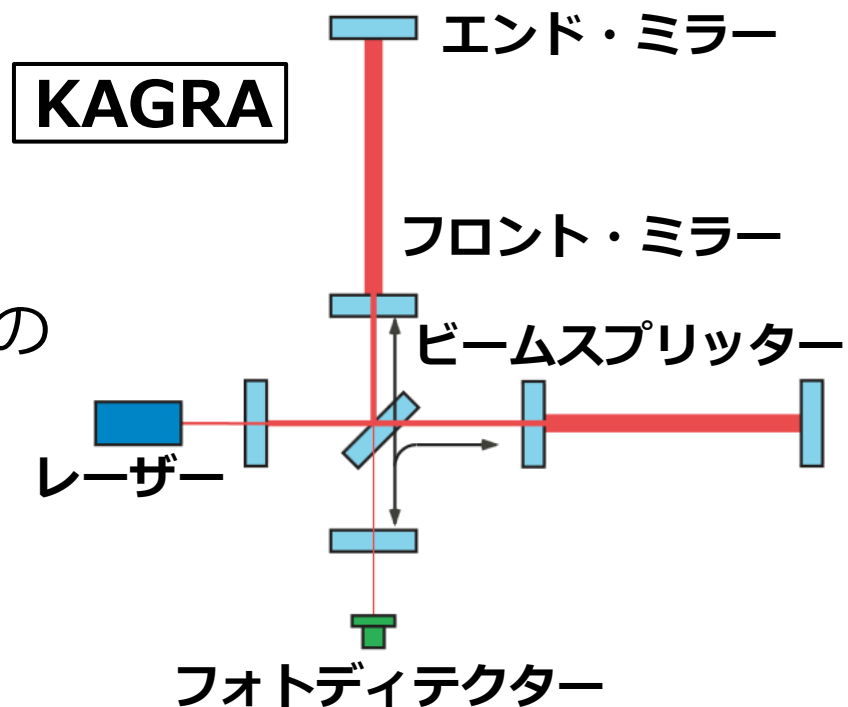
KAGRAのアーム長は 3000 m

∴合体前のPSR B1913+16からの
重力波による歪みは、

$$3000m \times 7.2 \times 10^{-23}$$

$$\approx \underline{\text{約} 2.2 \times 10^{-19} m}$$

(参考：原子核 $10^{-15} m$)



最後の3分間

非常に連星間の距離が近くなる

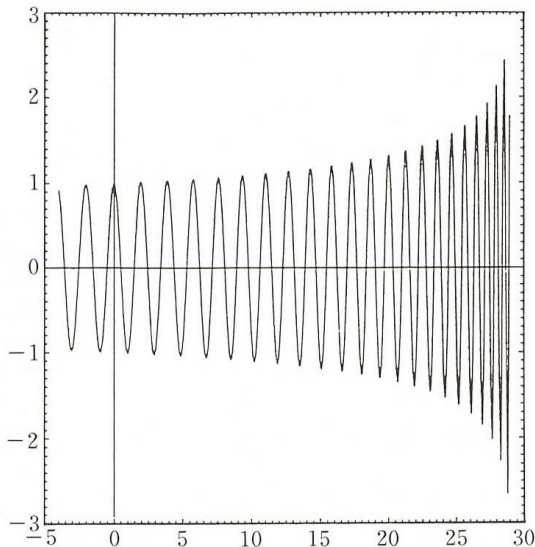


振動数($f_{\text{GW}} = \frac{2}{P_b}$)が増大

$$\frac{df}{dt} = \frac{96\pi^{8/3} G^{5/3}}{5 c^5} f^{11/3} m_1 m_2 (m_1 + m_2)^{-1/3}$$

(チャープ波)

重力波の振幅



時間

Chirp mass

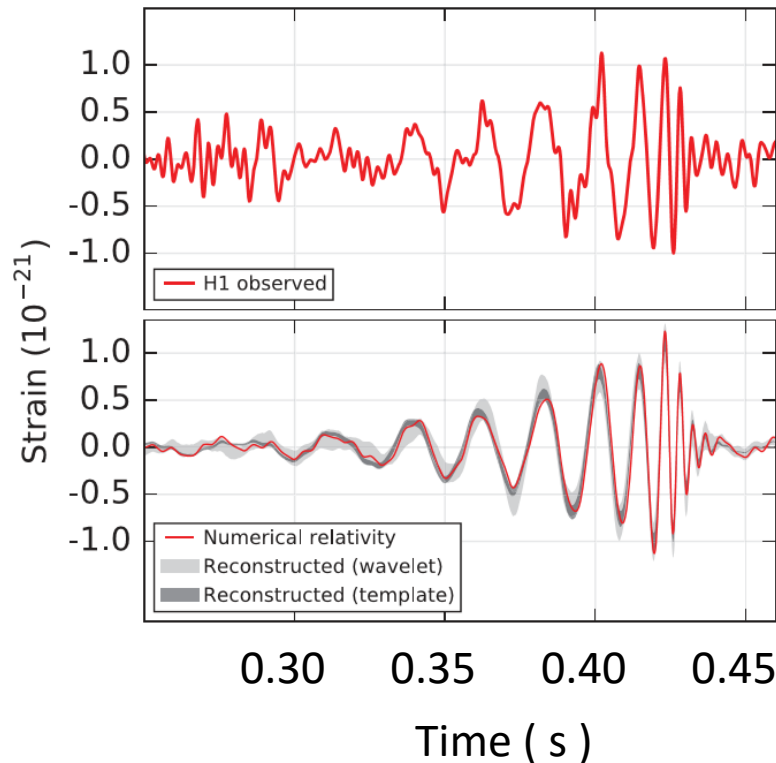
$$M_{\text{chirp}} = (m_1 m_2)^{3/5} (m_1 + m_2)^{-1/5}$$

重力波の観測

2016年2月11日

Advanced LIGOが重力波を検出したと発表
(2015年9月14日9時50分45秒(UTC))

400Mpc離れた $36M_{\odot}$ と $29M_{\odot}$ の連星BHの合体



観測された信号

数値相対論による
シミュレーション

B.P.Abbott et al., PRL.(2016)

今後の課題

- 楕円軌道から放射される重力波振幅について理解する
- レーザーを用いた検出について理解する
- 検出された重力波の解析手法について学ぶ